

第二十三版 (顯微寫真)

第二十三版 圖解

(凡テ廓大約五十倍)

第一圖 含雲母角閃石紫蘇輝石古銅石富士岩

產地 木ノ子岳北側ノ瘤狀突起

B 古銅石。 F 斜長石。

A ナナブサイド質單斜輝石(稀)。 H 角閃石。

紫蘇輝石及ビ黑雲母ハ此寫眞ニハ現ハレズ。

第二圖 前鶴山鎔岩(角閃石斜方輝石富士岩)

產地 前鶴山

H 蝕化セラレタル角閃石(磁鐵鑛ト輝石ノ集合體ニ變ゼリ)

B 古銅石。 Hy 紫蘇輝石。 F 斜長石。

第三圖 鮎歸式玄武岩(古銅石玄武岩)

產地 鮎歸瀧

O 變化シタル橄欖石(イツヂンク石)。

古銅石ノ斑晶ハ此部分ニハ現ハレズ。

石基、重ニ斜長石微晶(冊子)、輝石粒及ビ微晶、古銅石ノ微晶、磁鐵鑛粒等ヨリ成ル。

Explanation of Pl. XXIII. (Photomicrographs)

Ordinary light. Magnified 50 diameters.

Fig. 1. Biotite-bearing hornblende-hypersthene-bronzite andesite.

Loc. Parasitic cone on the northern flank of Kinoko-daké.

B=Bronzite. F=Plagioclase. A=Diopsidic augite (rare).

H=Hornblende. Hypersthene and biotite do not appear in this part of the thin section.

Fig. 2. Maézuru-yama lava (hornblende-rhombic pyroxene andesite).

Loc. Maézuru-yama.

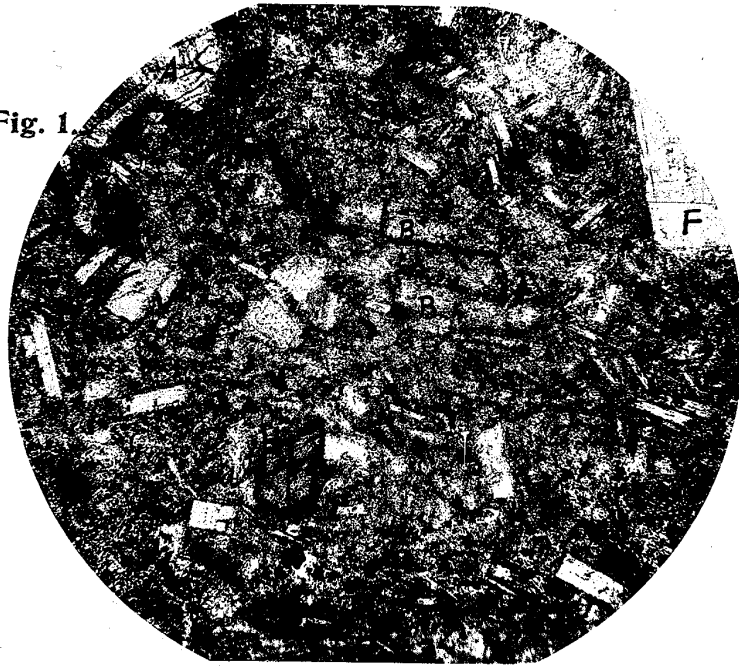
H=Resorbed hornblende (altered to an aggregate of magnetite and augite).

B=Bronzite. Hy=Hypersthene. F=Plagioclase.

Fig. 3. Ayugaéri basalt (bronzite basalt). Loc. Ayugaéri.

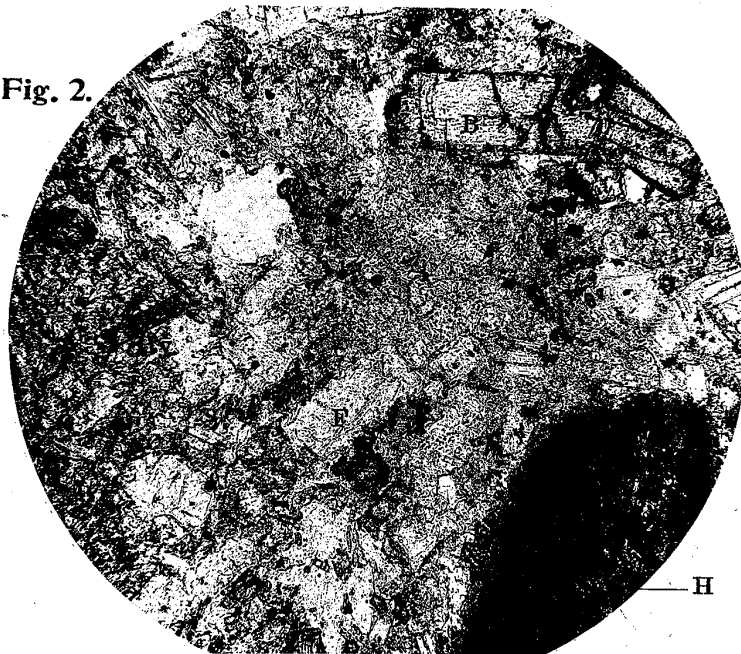
O=Altered olivine (iddingsite). No bronzite appears in this part of the thin section. The groundmass consists chiefly of minute felspar laths, augite grains, magnetite grains etc.

Fig. 1.



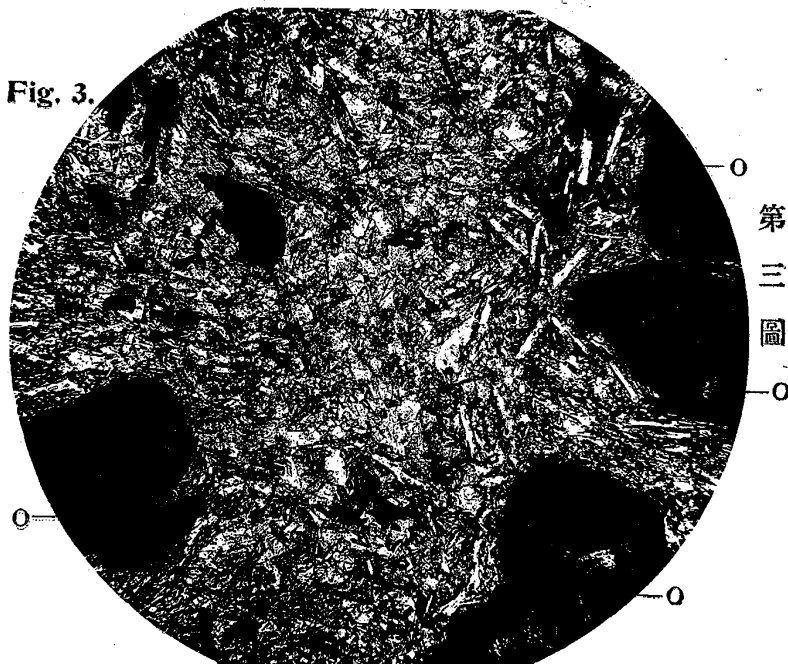
第一圖

Fig. 2.



第二圖

Fig. 3.



第三圖